

การพัฒนาและวัดประสิทธิภาพของตามดวงตาต้นทุนต่ำ Development and Evaluation of Low-Cost Eye Tracking Performance

วีรวรรณ จันทน์ทรัพย์¹ และ พยุง มีสัจ²

¹นักศึกษา ²รองศาสตราจารย์ สาขาวิชาเทคโนโลยีสารสนเทศ คณะเทคโนโลยีสารสนเทศ
มหาวิทยาลัยเทคโนโลยีพระจอมเกล้าพระนครเหนือ กรุงเทพฯ 10800

บทคัดย่อ

ปัจจุบันเทคโนโลยีติดตามดวงตาเป็นอีกหนึ่งทางเลือกที่ช่วยในการพัฒนาและออกแบบรูปแบบการปฏิสัมพันธ์ระหว่างมนุษย์กับคอมพิวเตอร์ที่เป็นธรรมชาติ โดยการควบคุมและใช้งานคอมพิวเตอร์ได้ด้วยสายตาของผู้ใช้ อย่างไรก็ตาม พบว่า อุปกรณ์ติดตามดวงตาที่จำหน่ายในท้องตลาดในปัจจุบันค่อนข้างมีราคาแพง และถือเป็นอุปกรณ์ล้ำคัญในการเข้าถึงเทคโนโลยีติดตามดวงตา บทความนี้กล่าวถึงขั้นตอนการพัฒนาอุปกรณ์ติดตามดวงตาต้นทุนต่ำที่อยู่ในรูปแบบของแว่นตา โดยทำการติดตามตำแหน่งของสายตาด้วยหลักการของการประมวลผลบนลักษณะวิถีоворุ่มกับคลื่นความถี่อินฟราเรด เพื่อประมวลผลหาตำแหน่งจุดกึ่งกลางรูปม่านตาซึ่งเป็นคุณลักษณะสำคัญของดวงตาที่ใช้ในงานวิจัยนี้ ดำเนินการหาตำแหน่งเพื่อมองของสายตาด้วยฟังก์ชันพหุนามดีกรีต่าง ๆ (ฟังก์ชันเชิงเส้น ฟังก์ชันพหุนามดีกรีสอง และฟังก์ชันพหุนามดีกรีสาม) โดยใช้วิธีการทดสอบยกกำลังสองน้อยสุด โดยดำเนินการสอบเทียบตำแหน่งของสายตา กับผู้ทดสอบจำนวน 30 ราย ผลการทดลองแสดงให้เห็นว่า อุปกรณ์ติดตามดวงตาต้นทุนต่ำและอัลกอริทึมที่ได้พัฒนาขึ้นสามารถติดตามตำแหน่งของสายตาแบบติดตามดวงตาแบบติดตามทันทีทันใดได้ในขณะที่ผลลัพธ์จากการประเมินค่าตำแหน่งของสายตาด้วยฟังก์ชันพหุนามดีกรีสามมีความแม่นยำกว่าฟังก์ชันอื่น

Abstract

Nowadays, Eye Tracking Technology is one main challenge for developers of new human-computer interface. This technology provides a more natural way of interacting with a computer system by user's eye. Now commercially available systems exist; however, they are not widely used because of expensiveness. This paper describes a tutorial that shows step by step how to build a low-cost eye tracker using eyeglass setup. The glasses are designed to work with video-oculography technique (VOG) in the infrared spectrum. The key features of the eye is a center of the pupil. The gaze point of users are estimated based on order polynomial regression (linear, quadratic and cubic). This research conducted an experiment with 30 participants tested eye-gaze calibration. Consequently, the experimental results showed that eye-gaze can be estimated in real-time, while the cubic function can be accurate eye-gaze position more than the other function.

คำสำคัญ : เทคโนโลยีติดตามดวงตา การเพ่งมองของสายตา อุปกรณ์ติดตามดวงตาต้นทุนต่ำ

Keywords : Eye Tracking Technology; Eye Gaze; Low-Cost Eye Tracking Devices

* ผู้นี้พนักงานประจำงานไพรชณีร์อิเล็กทรอนิกส์ ratree.j@rmutp.ac.th โทร. 02 836 3014

1. บทนำ

ปัจจุบันเทคโนโลยีคอมพิวเตอร์เข้ามามีอิทธิพล กับชีวิตประจำวันของมนุษย์ ผู้ใช้สามารถเข้าถึงและลั่งการให้คอมพิวเตอร์ทำงานได้ด้วยการเรียนรู้วิธีการใช้งานผ่านส่วนที่เรียกว่า ระบบปฏิสัมพันธ์กับผู้ใช้ หรือ เอชซีไอ (Human Computer Interface: HCI) ในอดีตเม้าส์ (Mouse Pointer) เป็นอุปกรณ์ที่มอนูชย์ใช้ลั่งการให้คอมพิวเตอร์ทำงาน แต่ในปัจจุบันความก้าวหน้าทางด้านวิทยาศาสตร์และเทคโนโลยีถูกนำมาใช้เป็นทางเลือกในการสร้างระบบปฏิสัมพันธ์รูปแบบใหม่ ด้วยป้องเช่น ระบบจอภาพลัมพัส (Touch Screen Computer) ระบบลั่งการด้วยเสียง (Voice Command) และระบบควบคุมลั่งการด้วยดวงตา (Eye Control) เป็นต้น

ระบบควบคุมลั่งการคอมพิวเตอร์ด้วยดวงตา เป็นระบบที่นำเทคโนโลยีติดตามดวงตา (Eye Tracking Technology) เข้ามาประยุกต์ใช้กับงานด้านเอชซีไอ โดยหลักการทำงานพื้นฐานของเทคโนโลยีนี้ คือ ตรวจจับการเคลื่อนที่ของดวงตาด้วยอุปกรณ์ตรวจจับดวงตา (Eye Tracking Device) จากนั้นนำข้อมูลที่ได้ไปประมวลผลเพื่อหาตำแหน่งที่สายตาเพ่งมอง (Point of Gaze: POG) และนำผลลัพธ์ตำแหน่ง POG ที่คำนวณได้ไปประยุกต์ใช้กับงานด้านต่าง ๆ แม้ว่าปัจจุบันเทคโนโลยีติดตามดวงตาจะเป็นเทคโนโลยีใหม่ แต่การคิดค้นและพัฒนามีมากกว่า 100 ปี โดยเทคนิคการติดตามดวงตาเทคนิคแรก คือ การลั่งเกตโดยตรงของจักษุแพทย์ (Javal, 1905) ต่อมาใช้อุปกรณ์คล้ายถ่ายที่ต้องใส่เข้าไปในดวงตาเพื่อช่วยเพิ่มประสิทธิภาพของผลลัพธ์ (Huey, 1900: 283-302) และการใช้หลักการสะท้อนแสงของกระจกตากับ

กล้องถ่ายภาพ (Dodge, 1916: 421-427) ปัจจุบันเทคโนโลยีติดตามดวงตาสามารถแบ่งออกเป็น 3 เทคนิคหลัก คือ เทคนิคแรกใช้กระไฟฟ้ากระแสตุ้นกล้ามเนื้อด้วยเครื่อง Electro-Oculography (EOG) เทคนิคที่สองใช้คอนแทคเลนส์ที่ติดตั้งชุดวงไฟฟ้าซึ่งเรียกว่า Scleral Search Coil (SSC) และเทคนิคการใช้ลัญญาณภาพวิดีโอในการติดตามดวงตา (Video Oculography: VOG) (Hansen and Qiang, 2010: 478-500) โดยเทคนิค VOG เป็นเทคนิคที่เหมาะสมสำหรับการประยุกต์ใช้กับงานด้านเอชซีไอ เนื่องจากอุปกรณ์ตรวจจับดวงตาที่ใช้ในเทคนิคนี้ไม่รบกวนผู้ใช้ อุปกรณ์บางรุ่นติดตั้งไว้ด้านหน้าของจอภาพ หรืออาจเป็นอุปกรณ์ที่อยู่ในรูปแบบของแว่นตา (Goggles) ทำให้เกิดความสะดวกในการใช้งาน อีกทั้งในการทดลองหรือใช้งานไม่จำเป็นต้องอยู่ในห้องปฏิบัติการ หรือมีผู้ใช้ชาวญี่ปุ่นควบคุม ดังเช่นส่องเทคนิคข้างต้น

ปัจจุบันอุปกรณ์ติดตามดวงตาด้วยเทคนิค VOG ถูกพัฒนาเป็นผลิตภัณฑ์จำหน่ายในเชิงพาณิชย์ แต่กลับพบว่ามีราคาค่อนข้างสูง ซึ่งเป็นอุปสรรคสำคัญในการดำเนินงานวิจัยอันเกี่ยวข้องกับการติดตามดวงตาอย่างมาก อย่างไรก็ตามได้มีนักวิจัยในต่างประเทศส่วนหนึ่งได้เสนอแนวคิดพัฒนาอุปกรณ์ติดตามดวงตาต้นทุนต่ำ (Low-Cost Eye Tracking) ทดลองอุปกรณ์ติดตามดวงตา ราคาแพง เพื่อใช้ในการดำเนินการวิจัยและประยุกต์ใช้กับแอพพลิเคชันต่าง ๆ อาทิ เช่นโครงการพัฒนาอุปกรณ์ติดตามดวงตาเพื่อช่วยในการสื่อสารสำหรับผู้ป่วยกล้ามเนื้ออ่อนแรงซึ่งชื่อ EyeWriter (<http://www.eyewriter.org/>) โครงการ OGAMA ของมหาวิทยาลัย Freie

Universität Berlin (<https://ogama.codeplex.com/>) โครงการวิจัยและพัฒนาอุปกรณ์ติดตามดวงตาและซอฟต์แวร์ที่สืบต่อจากห้องปฏิบัติการในมหาวิทยาลัยทางด้านไอทีในประเทศไทยเดนมาร์กภายใต้ชื่อ ITU GazeTracker และผลงานวิจัย OpenEyes ของ Dongheng และคณะ (2006: 95-100) เป็นต้น

จากตัวอย่างผลงานวิจัยข้างต้น จะเห็นได้ว่า งานวิจัยอันเกี่ยวกับเทคโนโลยีติดตามดวงตาได้รับความสนใจและคิดค้นพัฒนาอย่างกว้างขวาง ในกลุ่มนักวิจัยในต่างประเทศ อย่างไรก็ตาม พบร่วมงานวิจัยภายในประเทศไทยยังไม่กว้างขวางมากนัก ซึ่งอาจเกิดจากปัญหาและอุปสรรคด้านต้นทุนของอุปกรณ์ที่มีราคาสูง และยังต้องลงชี้อ่านเข้าจากต่างประเทศอีกด้วย ดังนั้น งานวิจัยนี้จึงนำเสนอการพัฒนาอุปกรณ์ติดตามดวงตาต้นทุนต่ำ โดยใช้วัสดุอุปกรณ์ต่าง ๆ ในประเทศไทย ภายใต้เทคนิคการติดตามดวงตาด้วยลัญญาณภาพวิดีโอ และดำเนินการประลองกับอุปกรณ์ที่พัฒนาขึ้น โดยมีจุดมุ่งหวังเพื่อใช้เป็นอุปกรณ์ติดตามดวงตาต้นทุนต่ำที่ใช้ในการศึกษาและวิจัย เกี่ยวกับการติดตามดวงตาสำหรับประยุกต์ใช้งาน กับศาสตร์ด้านการสร้างระบบปฏิบัติสัมพันธ์ระหว่างมนุษย์และคอมพิวเตอร์ต่อไป

2. วิธีการทดลอง

การดำเนินงานวิจัยในครั้งนี้สามารถแบ่งออกได้ 2 ส่วนงานหลัก คือ การออกแบบและพัฒนา

อุปกรณ์ติดตามดวงตา โดยทำการศึกษาวิธีการตั้งแบบจากโครงงานวิจัยต่าง ๆ ในต่างประเทศเพื่อใช้เป็นแนวทางในการพัฒนา จัดทำวัสดุอุปกรณ์ที่ต้องใช้ และพัฒนาอุปกรณ์ขึ้น อีกส่วนหนึ่งคือการออกแบบและพัฒนาอัลกอริทึมเพื่อใช้ในการตรวจจับภาพบริเวณดวงตา (Eye Detection) อัลกอริทึมติดตามตำแหน่งดวงตา (Eye Tracking) และอัลกอริทึมมาตราตำแหน่งเพ่งมองของสายตา (Eye-Gaze Estimation) รายละเอียดการดำเนินงานในแต่ละส่วนได้นำเสนอในหัวข้อลำดับถัดไป

2.1 การออกแบบและพัฒนาฮาร์ดแวร์

การพัฒนาอุปกรณ์ตรวจจับลัญญาณภาพดวงตาต้นทุนต่ำในงานวิจัยนี้ ผู้วิจัยใช้แนวคิดการพัฒนาจากโครงการพัฒนาอุปกรณ์ติดตามดวงตาเพื่อช่วยเหลือผู้ป่วยกล้ามเนื้ออ่อนแรง (ALS) ที่ชื่อว่า EyeWriter (<http://www.eyewriter.org/>) โครงการนี้คิดค้นและพัฒนาร่วมกันของทีมงานหลายห้องปฏิบัติการ ประกอบด้วย Free Art and Technology (FAT), openFramework, Graffiti Research Lab และ Ebeling Group Communities เนื่องจากมีความเหมาะสมสมกับการจัดทำวัสดุในการพัฒนาภายในประเทศ ซึ่งอุปกรณ์หลักในการพัฒนาคือ กล้องดิจิทัลเว็บแคม (Digital Webcam) งานวิจัยนี้ใช้กล้องยี่ห้อ Sony PlayStation3 (PS3) มีความละเอียด 640x480 พิกเซล มีอัตราความเร็ว 60 Hz. เชื่อมต่อกับคอมพิวเตอร์ด้วยพอร์ตบูตบี (USB) นอกจากนั้น ยังมีวัสดุอุปกรณ์รายการอื่นใน การพัฒนาอุปกรณ์ติดตามดวงตาอีกจำนวน 18 รายการ ดังแสดงในรูปที่ 1

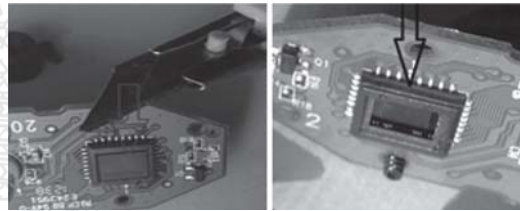


รูปที่ 1 รายละเอียดรายการวัสดุอุปกรณ์สำหรับพัฒนาอุปกรณ์ติดตามดวงตาต้นทุนต่ำ

การพัฒนาอุปกรณ์ตรวจจับลักษณะภาพดวงตาต้นทุนต่ำ โดยการตัดแปลงกล้องดิจิทัลเว็บแคมให้ทำงานร่วมกับกล้องลักษณะอินฟราเรด มีรายละเอียดและขั้นตอนที่ผู้วิจัยได้นำเสนอไว้ในงานวิจัยที่ผ่านมา (Janthanaseub and Meesad, 2015) กล่าวคือ กล้องดิจิทัลเว็บแคมจะถูกนำมาติดต่อกับโครงสร้าง (Body) ของกล้องออกให้เหลือแต่แผ่นวงจร (Print Circuit Board: PCB) เพื่อนำพิลเตอร์ที่ติดมากับกล้องออก แล้วนำแผ่นพิมล์เนกานาฟ (Negative Film) มาใส่แทน รายละเอียดดังรูปที่ 2 และรูปที่ 3 ตามลำดับ



รูปที่ 2 ขั้นตอนการถอดแผงวงจรตัวกล้อง



รูปที่ 3 ขั้นตอนการตัดแปลงพิลเตอร์ของกล้อง

ติดตั้งอุปกรณ์เปลี่ยนลักษณะคลื่นแสงอินฟราเรดเพื่อช่วยในการตรวจจับภาพดวงตาให้มีความแม่นยำมากยิ่งขึ้น จากนั้นนำกล้องดิจิทัล-เว็บแคมที่ตัดแปลงเรียบร้อยแล้วติดตั้งเข้ากับกรอบของแว่นตา ทดลองการทำงานอีกครั้ง จะได้ภาพดวงตาจากโหมดคลื่นลักษณะภาพอินฟราเรด ดังแสดงในรูปที่ 4



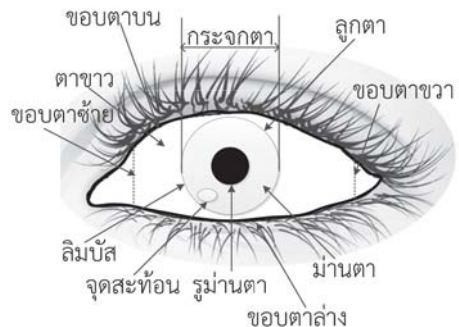
รูปที่ 4 ผลลัพธ์ภาพดวงตาที่ได้จากการอุปกรณ์ตรวจจับภาพดวงตาต้นทุนต่ำที่ประดิษฐ์

2.2 การออกแบบและพัฒนาอัลกอริทึม

เป็นการพัฒนาอัลกอริทึมสำหรับติดตามตำแหน่งของสายตา (Eye Gaze Tracking) ซึ่งในการวิจัยในครั้งนี้ใช้เทคนิค VOG โดยใช้อุปกรณ์ตรวจจับลัญญาณภาพดวงตาต้นทุนต่ำที่ได้พัฒนาขึ้น สำหรับชุดซอฟต์แวร์ในการพัฒนาในครั้งนี้ใช้โปรแกรม Microsoft Visual Studio 2013 เขียนรหัสคำสั่งด้วยภาษา C++ ทำงานร่วมกับไลบรารีมีด OpenGL, OpenCV และ GNU Scientific Library (GSL) สำหรับงานด้านการประมวลผลภาพ และใช้สำหรับการคำนวนทางด้านคณิตศาสตร์ โดยทำการติดตั้ง OpenFrameworks เพื่อให้การเรียกใช้งานสะดวกมากยิ่งขึ้น (<http://www.openframeworks.cc>) สำหรับรายละเอียดการศึกษา ออกแบบ และพัฒนาอัลกอริทึมมีรายละเอียดดังต่อไปนี้

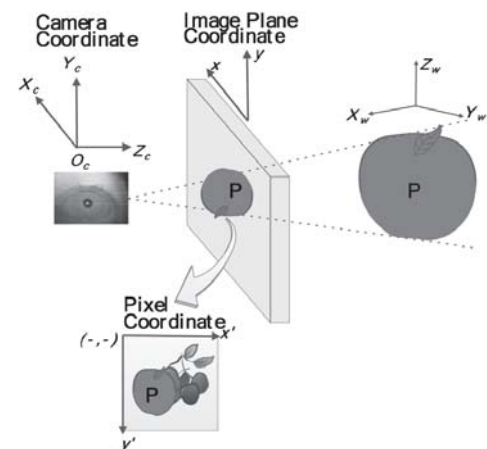
2.2.1 ดวงตาและการมองเห็น

ลูกตา (Eyes Ball) เป็นอวัยวะสำคัญสำหรับการมองเห็น ลูกตาอยู่ตรงกลางของกรอบตา (Eye Frame) มีลักษณะเป็นทรงกลม (Circular) ผิวชั้นด้านนอกสุดคือกระ爵士 (Cornea) มีลักษณะใสคล้ายกระจกสามารถสะท้อนแสงได้ ชั้นถัดมาเป็นม่านตา (Iris) ซึ่งมีลวดลายและลีสีรวมที่แตกต่างกันทั้งนี้ขึ้นกับเชื้อชาติ ภายในม่านตาจะมีวงกลมเล็กๆ อยู่กลางของม่านตา และมีสีที่เข้มกว่าบริเวณอื่นเรียกว่า รูม่านตา (Pupil) โครงสร้างทางกายวิภาคของดวงตามนุษย์แสดงดังรูปที่ 5



รูปที่ 5 โครงสร้างทางกายวิภาคของดวงตามนุษย์

การมองเห็นของดวงตาสามารถเข้าใจได้ด้วยหลักการฉายภาพ (Perspective) และหน้าที่กล้องการทำงานของกล้อง (Bradski and Kaebler, 2008) โดยแบบจำลองของกล้อง (Camera Model) แสดงดังรูปที่ 6



รูปที่ 6 แบบจำลองการมองเห็นด้วยโมเดลกล้อง

ระบบพิกัดจากรูปที่ 6 แสดงให้เห็นถึงพิกัดของจุด \mathbf{P} บนรัศมีน้อยในระบบพิกัดที่ต่างกัน คือ พิกัด (X_w, Y_w, Z_w) เป็นระบบพิกัดโลกจริง 3 มิติ (3D World Coordinate System) ที่มีจุดกำเนิด (O_w) พิกัด (X_c, Y_c, Z_c) เป็นระบบพิกัดของกล้อง 3 มิติ (3D Camera Coordinate System) มีจุดกำเนิดอยู่ที่จุดกึ่งกลางของเลนส์ คือ (O_c) และทิศทางของแกน Z_c อยู่ในแนวเดียวกับการมองของกล้อง หรือดวงตา สำหรับพิกัด (x_m, y_m) เป็นระบบพิกัดภาพ (Image Plane Coordinate System) ที่ขานานกับแกน X_c และ Y_c ของระบบพิกัดกล้อง โดยมี f เป็นระยะห่างระหว่างระนาบของภาพกับจุดกึ่งกลางเลนส์ ซึ่งเรียกว่า ระยะโฟกัสของเลนส์ กล้อง และพิกัดสุดท้าย คือ (x_u, y_u) เป็นค่าพิกัดในระบบพิกัดภาพ (Pixel Coordinate System) ของจุด \mathbf{P} ซึ่งระบบพิกัดเหล่านี้สามารถหาความล้มพังหรือห่วงกันได้ด้วยการแปลง โดยใช้สมการของกล้องรูปเข็ม (Pinhole Camera Equation) นิยามดังสมการ (1)

$$x_u = f \frac{X_c}{Z_c}, y_u = f \frac{Y_c}{Z_c}, \quad (1)$$

สำหรับงานวิจัยเกี่ยวกับการติดตามตำแหน่งของสายตาจากลัญญาณภาพวิดีทัศน์ สิ่งจำเป็นอีกประการหนึ่ง คือ การแปลงพิกัดเชิงเรขาคณิต (Geometric Transformation) เนื่องจากต้องมีการย้าย และการหมุนภาพ สำหรับหลักการแปลงพิกัดภาพด้วยการแปลงเชิงเรขาคณิตนั้น พังก์ชันการแปลงพิกัดอยู่ในรูปแบบของเมตริกซ์ซึ่งมีรูปแบบที่ต่างกัน (Bradski Kaeble, 2008)

การหมุน (Rotation) เป็นการหมุนรอบแกนต่าง ๆ ทั้งสามแกน ซึ่งได้แก่ x, y หรือ z โดยการ

อ้างอิงการมองในลักษณะมองออกจากจุดกำเนิดไปตามแนวแกนต่าง ๆ ซึ่งทิศทางการหมุนจะหมุนตามเข็มนาฬิกา สำหรับทิศทางของการเคลื่อนที่ของลูกตามนูนชย์นั้นจะเคลื่อนที่ในแนวแกน x อยู่ระหว่างขอบตาซ้าย-ขวา และแนวแกน y เป็นระยะทางระหว่างขอบตาบน-ล่าง และการหมุนของลูกตามนูนรอบแกน x และแกน y ซึ่งทำให้เกิดมุม θ และมุม ϕ สามารถคำนวณได้ด้วยหลักการตรีโกณมิติ สำหรับสมการการหมุนของลูกตามนูนให้อยู่ในรูปแบบของเมตริกซ์ที่แตกต่างกัน ดังสมการที่ (2)-(4) ตามลำดับ

$$R_x = \begin{bmatrix} 1 & 0 & 0 & 0 \\ 0 & \cos \theta & \sin \theta & 0 \\ 0 & -\sin \theta & \cos \theta & 0 \\ 0 & 0 & 0 & 1 \end{bmatrix} \quad (2)$$

$$R_y = \begin{bmatrix} \cos \phi & 0 & -\sin \phi & 0 \\ 0 & 1 & 0 & 0 \\ \sin \phi & 0 & \cos \phi & 0 \\ 0 & 0 & 0 & 1 \end{bmatrix} \quad (3)$$

$$R_z = \begin{bmatrix} \cos \varphi & \sin \varphi & 0 & 0 \\ 0 & 0 & 1 & 0 \\ 0 & 0 & 0 & 0 \\ 0 & 0 & 0 & 1 \end{bmatrix} \quad (4)$$

การเคลื่อนย้ายตำแหน่ง (Translation) โดยกำหนดให้ T_x, T_y, T_z คือ ระยะทางของการเลื่อนตำแหน่งในแนวแกน x, y, z ตามลำดับ นิยามดังสมการที่ (5)

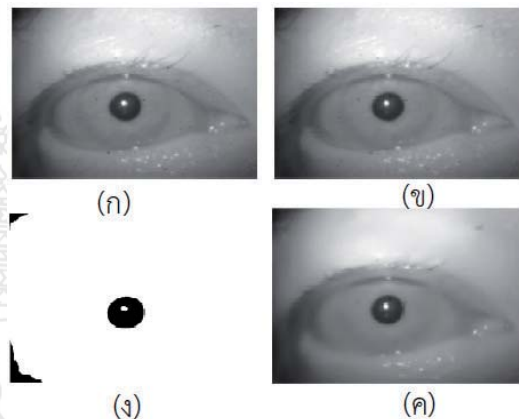
$$[x', y', z', h] = [x, y, z, 1] \cdot \begin{bmatrix} 1 & 0 & 0 & 0 \\ 0 & 1 & 0 & 0 \\ 0 & 0 & 1 & 0 \\ T_x & T_y & T_z & 1 \end{bmatrix} \quad (5)$$

2.2.2 การกำหนดจุดอ้างอิงตำแหน่งดวงตา

เป็นกระบวนการหาคุณลักษณะของดวงตาจากภาพที่นำเข้ามาจากการอุปกรณ์ตรวจจับลัญญาณภาพดวงตาที่ได้พัฒนาขึ้น คุณลักษณะเฉพาะของดวงตาที่ใช้สำหรับตรวจหาบริเวณของดวงตาประกอบด้วย ม่านตา (Iris) รูม่านตา (Pupil) มุมของตา (Corners) ระยะห่างของตา (Between the Eyes) และองค์ประกอบโดยรวม (Entire Eye) สำหรับวิธีการที่นำมาใช้ลักษณะดังกล่าว ข้างต้น วิธีการที่นิยมใช้ คือ การหาจากคุณลักษณะของรูปทรง (Shape Base Method) โดยรูปทรงที่นำมาใช้ในการวิเคราะห์หาคุณลักษณะของดวงตา อาทิ เช่น ทรงกลม (Circular Shape) รูปทรงทรงรี (Ellipse Shape) หรือใช้ทั้งสองรูปทรงร่วมกัน (Complex Shape) (Hansen and Qiang, 2010: 478-500)

ในการดำเนินงานวิจัยครั้งนี้ใช้คุณลักษณะเฉพาะของรูม่านตาโดยกำหนดให้พิกัดตำแหน่งจุดศูนย์กลาง รูม่านตา (Pupil Center Point: PCP) เป็นตำแหน่งอ้างอิงของดวงตาในภาพ วิธีการเริ่มต้นจากนำภาพดวงตาต้นฉบับมาผ่านกระบวนการปรับปรุงคุณภาพ ด้วยการแปลงภาพดวงตาต้นฉบับซึ่งเป็นภาพโโนมดภาพสี (RGB Color Image) เป็นภาพโโนมดขาวเทา (Gray Scale Image) จากนั้นกำจัดลัญญาณรบกวนที่เป็นจุดเล็ก ๆ (Salt and Pepper Noise) ด้วยตัวกรองเกลล์เชียน (Gaussian Filter) ขนาด 3×3 จะทำให้ได้ภาพดวงตามีความราบรื่นขึ้น จากนั้นแปลงภาพเป็นภาพขาวดำ (Binary Image) ด้วยตัวแบ่งค่ากันสี (Thresholding) ภาพผลลัพธ์จากขั้นตอนนี้จะทำให้ข้อมูลภาพบริเวณรูม่านตาภายนอกบริเวณอื่นแยกออกจากกัน และภาพ

ผลลัพธ์ที่ได้จากการกระบวนการประมวลผลภาพจะถูกนำเข้าสู่กระบวนการวิเคราะห์หาคุณลักษณะเฉพาะของดวงตา และกำหนดจุดพิกัดอ้างอิงของดวงตาที่จะนำไปใช้ในการประมาณตำแหน่งของสายตาต่อไป ตัวอย่างภาพผลลัพธ์จากการกระบวนการปรับปรุงภาพในแต่ละขั้นตอนแสดงดัง รูปที่ 7 (ก) ถึง (ง) ตามลำดับ



รูปที่ 7 ตัวอย่างภาพผลลัพธ์การปรับปรุงภาพดวงตา
(ก) ภาพต้นฉบับ (ข) ภาพโโนมดขาวเทา
(ค) ภาพผ่านตัวกรอง และ
(ง) ภาพโโนมดขาวดำ

การวิเคราะห์หาคุณลักษณะของดวงตาสำหรับงานวิจัยนี้มีวิธีขั้นตอน คือ ขัดข้องูลส่วนที่ไม่ใช่ รูม่านตาด้วยกระบวนการวิเคราะห์blob blobs (Blob Analysis) ซึ่งเป็นกระบวนการหา blob ด้วยตัวแหน่งของกลุ่มจุดสีโดยใช้อัลกอริทึม Flood Fill แบบ 8 ทิศทาง (Tao, Nong-liang and Mao-Yong, 2008: 322-325) ผลลัพธ์ที่ได้จากการวิเคราะห์blob คือ ขอบเขตของข้อมูลภาพในแต่ละส่วน จากนั้นดำเนินการหารูม่านตาด้วยเทคนิคการหาความคล้ายรูปทรงกลม (Hough Circle Transform: CHT) (Gao, et al., 2009: 751-754) สมการวงกลมของเทคนิค CHT นิยาม

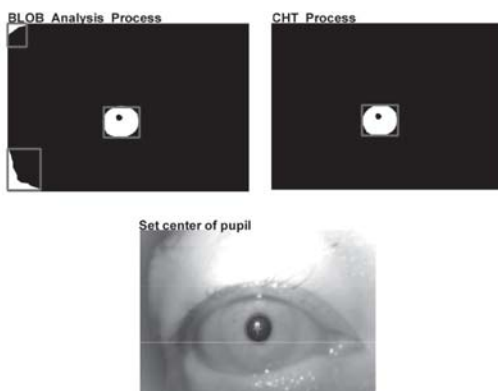
ดังสมการที่ (6) และภาพผลลัพธ์แสดงดังรูปที่ 8

$$r^2 = (x - C_x)^2 + (y - C_y)^2 \quad (6)$$

เมื่อ C_x คือ จุดศูนย์กลางของวงกลมในแกน

C_y คือ จุดศูนย์กลางของวงกลมในแกน

r คือ รัศมีของวงกลม



รูปที่ 8 ภาพผลลัพธ์กระบวนการตรวจจับรูม่านตา

จากสมการที่ความคล้ายของวงกลมของเทคนิค CHT สามารถคำนวนหาพิกัดตำแหน่งจุดศูนย์กลางของรูม่านตาขึ้นมาโดยอาศัยเคลื่อนที่ได้จากการแปลงพิกัด โดยคำนวนให้อยู่ในรูปแบบของระบบพิกัด คือ $P(x', y', z')$ ด้วยฟังก์ชันแปลงพิกัดเชิงเรขาคณิต ตามหลักการที่กล่าวมาแล้วข้างต้น สำหรับการประมาณตำแหน่งพิกัดอ้างอิงของดวงตาขณะที่ลูกตาเคลื่อนที่นั้น ใช้หลักการประมาณค่าด้วยระเบียบวิธี ellipse fitting และใช้เทคนิคในการติดตามตำแหน่งอ้างอิงดวงตาด้วยอัลกอริทึม CAMSHIFT (Bradski and Kaebler, 2008)

2.2.3 การประมาณตำแหน่งเพ่งมอง

โดยทั่วไปหลักการประมาณค่าตำแหน่งเพ่งมองของสายตา หรือ POG พิจารณาจากฟังก์ชัน

เพ่งมอง (Gaze Function) แทนด้วยลักษณะ Φ ในการประมาณค่าตำแหน่งเพ่งมองได้ ๆ นิยาม ดังสมการที่ 7

$$\mathbf{P} = \Phi_c(\mathbf{X}) \quad (7)$$

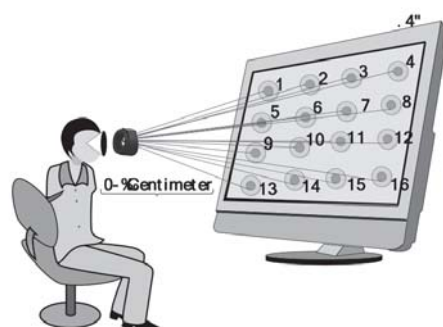
โดยที่ \mathbf{P} คือ พิกัด POG ในระนาบ \mathbb{R}^2

\mathbf{X} คือ พิกัดดวงตาในภาพอยู่ในระนาบ \mathbb{R}^2

Φ คือ พัฟ์ฟ์ชันเพ่งมองของสายตา

c คือ ตัวแปรที่ได้จากการสอบเทียบพิกัด

โดยขั้นตอนการหาค่าพัฟ์ฟ์ชัน Φ ที่เหมาะสม ลำดับงานวิจัยนี้เริ่มต้นจาก ดำเนินการสอบเทียบตำแหน่งของสายตา (Calibration Process) กับ หมุดอ้างอิงบนหน้าต่างวินโดว์ในจอภาพ (Screen Control Point: SCP) เพื่อใช้เป็นข้อมูลพิกัดเริ่มต้น ในการสร้างพัฟ์ฟ์ชัน Φ ในงานวิจัยนี้กำหนดจุด SCP ขนาด 50×50 จุดภาพ จำนวน 16 จุดบน กริดขนาด 4×4 จัดเรียงบนหน้าต่างวินโดว์ขนาด 1280×1024 จุดภาพ สอบเทียบสายตา กับผู้ทดสอบ จำนวน 30 ราย วิธีการโดยให้ผู้ทดสอบมองไปยัง จุด SCP ในขณะเดียวกันระบบจะดำเนินการบันทึก ภาพดวงตาขณะมองไปยังจุด SCP แต่ละจุดจน ครบ แบบจำลองการสอบเทียบตำแหน่งสายตา แสดงดังรูปที่ 9



รูปที่ 9 แบบจำลองการสอบเทียบตำแหน่งสายตา

ดำเนินการหาฟังก์ชัน Φ ด้วยการพิจารณา ความล้มพันธ์ของชุดข้อมูลพิกัดหมุดอ้างอิงบน หน้าต่างวินโดว์ในซอฟต์แวร์พิกัดดวงตาอ้างในภาพ ที่ได้จากการบวนการสอบเทียบตำแหน่งสายตา ข้างต้น จากนั้นนำฟังก์ชันที่หาได้ไปประมาณค่า ตำแหน่ง POG ในตำแหน่งใด ๆ บนภาพ สำหรับ การวิจัยในครั้งนี้ใช้วิธีการประมาณค่าฟังก์ชันเพื่อ มองที่เหมาะสมด้วยวิธีกำลังสองน้อยสุด (Least Square) โดยดำเนินการเปรียบเทียบผลการ ประมาณค่าตำแหน่ง POG จากสมการคณิตศาสตร์ 3 รูปแบบคือ สมการเชิงเส้น (Linear Model) สมการพหุนามดีกรีสอง (Quadratic Model) และสมการพหุนามดีกรีสาม (Cubic Model) (Hennessey, Noureddin and Lawrence, 2008: 289-298) นิยามดังสมการที่ (8) ถึง (10) ตามลำดับ สมการเชิงเส้น:

$$\begin{aligned}\hat{x} &= a_0 + a_1x + a_2y, \\ \hat{y} &= b_0 + b_1x + b_2y\end{aligned}\quad (8)$$

สมการพหุนามดีกรีสอง:

$$\begin{aligned}\hat{x} &= a_0 + a_1x + a_2y + a_3x^2 \\ &\quad + a_4xy + a_5y^2, \\ \hat{y} &= b_0 + b_1x + b_2y + b_3x^2 \\ &\quad + b_4xy + b_5y^2\end{aligned}\quad (9)$$

สมการพหุนามดีกรีสาม:

$$\begin{aligned}\hat{x} &= a_0 + a_1x + a_2y + a_3x^2 \\ &\quad + a_4xy + a_5y^2 + a_6x^3 \\ &\quad + a_7x^2y + a_8xy^2 + a_9y^3, \\ \hat{y} &= b_0 + b_1x + b_2y + b_3x^2 \\ &\quad + b_4xy + b_5y^2 + b_6x^3 \\ &\quad + b_7x^2y + b_8xy^2 + b_9y^3\end{aligned}\quad (10)$$

จากสมการข้างต้น \hat{x}, \hat{y} คือ ค่าพิกัดโดย ประมาณของ POG บนจอภาพในระบบ \mathbb{R}^2 ตามแนวแกน x และตามแนวแกน y ตามลำดับ x, y คือ พิกัดของจุดอ้างอิงของภาพดวงตาใน แนวระนาบเดียวกัน สำหรับ $a_0, a_1, a_2, \dots, a_9$ และ $b_0, b_1, b_2, \dots, b_9$ เป็นตัวแปรที่ไม่ทราบค่า จากนั้น วัดประสิทธิภาพของ การประมาณค่า POG ของ ฟังก์ชัน Φ ที่ได้ด้วยค่ารากที่สองของค่าเฉลี่ย ความคลาดเคลื่อนกำลังสอง (Root Mean Square Error, RMSE) นิยามได้ดังสมการที่ (11)

$$RMSE = \sqrt{\frac{\sum_{i=1}^n (\hat{y}_i - y_i)^2}{n}} \quad (11)$$

เมื่อ y_i คือ ค่าพิกัดที่ได้จากการสอบเทียบสายตา \hat{y}_i คือ ค่าพิกัดที่ได้จากการประมาณค่า n คือ จำนวนข้อมูลที่ใช้ประมาณค่าทั้งหมด

3. ผลการทดลองและวิจารณ์ผล

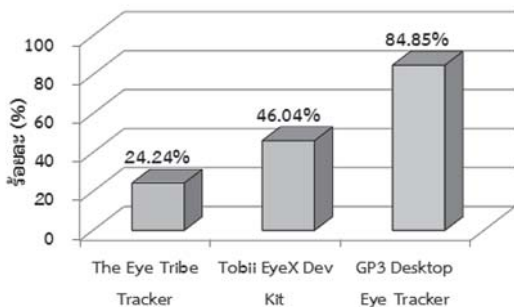
การศึกษา ทดลอง และดำเนินการวิจัยใน ครั้งนี้ แบ่งผลการทดลองออกเป็น 2 ส่วน คือ ส่วนของการพัฒนาอาร์ดแวร์อุปกรณ์ตรวจจับภาพ ดวงตาตั้งทุนต่อ และส่วนการทดสอบประสิทธิภาพ การติดตามตำแหน่งของสายตา ซึ่งรายละเอียดใน แต่ละส่วนมีรายละเอียด ดังต่อไปนี้

3.1 ผลการทดลองการพัฒนาอุปกรณ์ตรวจจับ

ภาพดวงตาตั้งทุนต่อ

ผลการพัฒนาอุปกรณ์ตรวจจับภาพดวงตา ตั้งทุนต่อ พบร่วมกับ อุปกรณ์ตรวจจับภาพดวงตาที่ พัฒนาขึ้นสามารถตรวจสอบภาพดวงตาได้ และได้ ภาพดวงตาที่มีความเหมาะสมสมสำหรับใช้ในการ ประมวลผลเพื่อติดตามตำแหน่งของสายตา ซึ่งใน

การพัฒนาในครั้งนี้ใช้วัสดุภายในประเทศ รวมค่าใช้จ่ายทั้งสิ้น 2,500 บาท หรือประมาณ 75 ดอลลาร์ (USD) และในการศึกษาวิจัยในครั้งนี้ผู้วิจัยได้ดำเนินการเปรียบเทียบด้านราคาก่อนอุปกรณ์ตรวจจับภาพดวงตาที่ได้พัฒนาขึ้นกับอุปกรณ์ตรวจจับภาพดวงตาในกลุ่มต้นทุนต่ำ (Lower-Cost) ที่จำหน่ายเป็นผลิตภัณฑ์ในต่างประเทศจำนวน 3 ยี่ห้อ คือ The Eye Tribe Tracker, Tobii EyeX Dev Kit และ GP3 Desktop Eye Tracker (GazePoint's GP3) อีกด้วย ซึ่งปัจจุบันราคาก่อนอุปกรณ์ติดตามดวงตาที่จำหน่ายในต่างประเทศถูกจัดแบ่งตามความสามารถและประสิทธิภาพของ การประเมินค่าตำแหน่ง POG โดยแบ่งออกเป็น 3 กลุ่มหลักคือ อุปกรณ์ต้นทุนต่ำ อุปกรณ์ต้นทุนปานกลาง และกลุ่มอุปกรณ์ต้นทุนสูง โดยรายละเอียด ผลการเปรียบเทียบร้อยละของต้นทุนที่ลดลง ระหว่าง D.I.Y Eye Tracking ที่ผู้วิจัยประดิษฐ์ขึ้น กับอุปกรณ์กลุ่มต้นทุนต่ำ 3 ยี่ห้อ แสดงดังรูปที่ 10



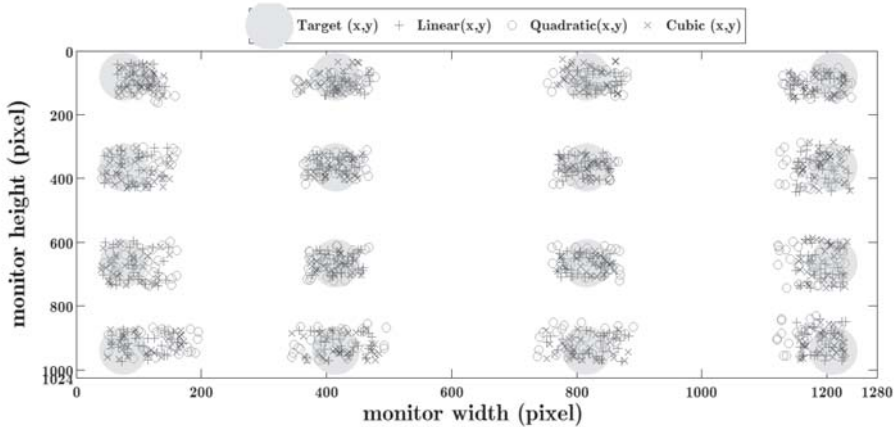
รูปที่ 10 กราฟเปรียบเทียบร้อยละของต้นทุนที่ลดลง

จากการเปรียบเทียบด้านราคาในรูปที่ 10 พบว่า อุปกรณ์ตรวจนับภาพดวงตาที่พัฒนาขึ้นในงานวิจัยนี้มีราคาที่ต่ำกว่า ยังผลต่อการลดต้นทุน

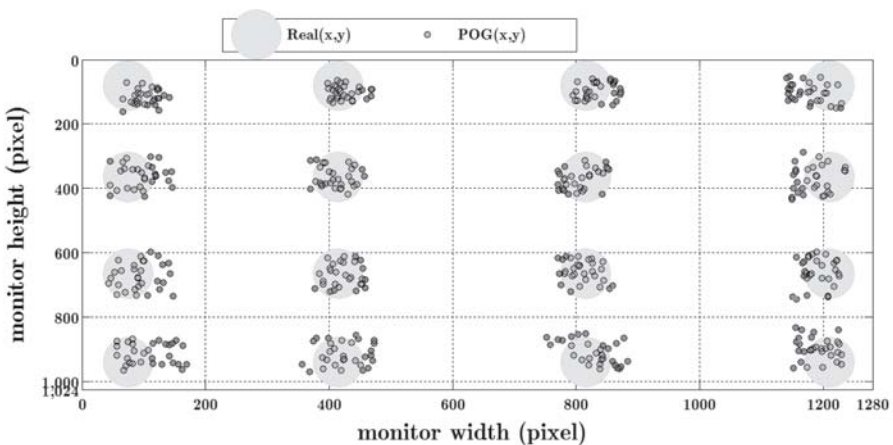
การนำเข้าผลิตภัณฑ์จากต่างประเทศได้ โดยสามารถลดต้นทุนจากการนำเข้าอุปกรณ์ The EyeTribe Tracker เพื่อกับ ร้อยละ 24.24 อุปกรณ์ Tobii ExeX Dev Kit ร้อยละ 46.04 และอุปกรณ์ GP3 Eye Tracker Desktop (GazePoint's GP3) ร้อยละ 84.85

3.2 พลการทดสอบประสิทธิภาพของการติดตาม ตัวแหน่งเพื่อมonitorของสายตา

ในขั้นตอนการทดสอบประสิทธิภาพของการติดตามตำแหน่งเพื่อมองของสายตาในงานวิจัยนี้ใช้ผู้ทดสอบจำนวน 30 ราย สอบเทียบตำแหน่งของสายตากับหมวดอ้างอิงจำนวน 16 จุดบนหน้าต่างวินโดว์ขนาด 1280×1024 จุดภาพ จากนั้นสร้างพังก์ชันเพื่อมองจากสมการเชิงเส้น สมการพหุนามดีกรีสอง และสมการพหุนามดีกรีสามประมาณค่าด้วยวิธีกำลังสองน้อยสุด ดำเนินการวัดประสิทธิภาพการประมาณค่า POG ด้วยค่า RMSE และค่าคลาดเคลื่อนเฉลี่ยของระยะห่าง ผลการคำนวณพบว่า ค่า POG ที่ได้จากการประมาณด้วยพังก์ชันเพื่อมองของสมการพหุนามดีกรีสาม และสมการเชิงเส้นมีประสิทธิภาพใกล้เคียงกัน ในขณะที่การประมาณค่า POG จากสมการพหุนามดีกรีสองประมาณพิกัดตำแหน่งของสายตาคลาดเคลื่อนค่อนข้างมาก ผลลัพธ์แสดงดังกราฟ การกระจายของข้อมูลพิกัดแสดงดังรูปที่ 11 และรูปที่ 12 ตามลำดับ สำหรับผลการคำนวณค่า RMSE และค่าคลาดเคลื่อนเฉลี่ยของระยะห่างแสดงรายละเอียดดังตารางที่ 1



รูปที่ 11 กราฟเปรียบเทียบการกระจายข้อมูลพิกัด POG ของพังก์ชันประมาณค่าทั้งสาม



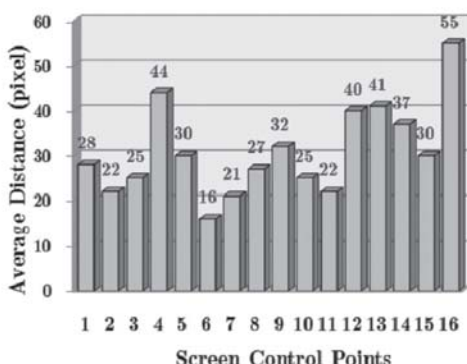
รูปที่ 12 กราฟการกระจายข้อมูลพิกัด POG ของพังก์ชันประมาณค่าแบบพหุนามดีลาม

ตารางที่ 1 ผลการทดสอบประสิทธิภาพพังก์ชันเพื่อ
มอง

| ชนิดพังก์ชัน | RMSE | | $\ y - \hat{y}\$ |
|--------------|-------------|-------|-------------------------------------|
| linear | X | 18.14 | 23 |
| | Y | 17.20 | |
| quadratic | X | 18.01 | 45 |
| | Y | 41.72 | |
| cubic | X | 17.51 | 20 |
| | Y | 15.57 | |

จากผลการเปรียบเทียบประสิทธิภาพการ
ประมาณค่าเพื่อมองของสายตา (POG) ของสมการ
คณิตศาสตร์ทั้ง 3 รูปแบบดังแสดงในตารางที่ 1
ข้างต้น แสดงให้เห็นว่า ผลลัพธ์จากการประมาณค่า
ด้วยสมการพหุนามดีกรีสามให้ประสิทธิภาพความ
แม่นยำในการซึ่ดจำแนงบนหมุดอ้างอิงทั้ง 16 จุด
ได้ดีที่สุดที่ค่าคลาดเคลื่อนของระยะห่าง 20 จุด
และจากผลการทดลองรูปที่ 12 แสดงข้อมูลพิกัด
จำแนงของสายตาที่ได้จากการประมาณค่าด้วย

พิงก์ชันพหุนามดีกรีสาม โดยพิกัดตำแหน่งของจุด
อ้างอิงของสายตาผลลัพธ์ **PCP** (x,y) สามารถ
ระบุตำแหน่งบนพิกัดหมุดอ้างอิง **Peal** (x,y) ใน
แต่ละจุดแสดงด้วยสัญลักษณ์จุดวงกลมสีล้ม ใน
ขณะที่จุดวงกลมลีนี้เงินแสดงถึงพิกัดตำแหน่ง
สายตาที่ไม่สามารถระบุตำแหน่งบนพิกัดของหมุด
อ้างอิงได้ และจากการพิจารณาข้อมูลพิกัดตำแหน่ง
สายตาเหล่านี้ พบว่า พื้นที่บริเวณกลางหน้าต่าง
วินโดว์ หรือ กลางจอด้านหน้าของบ้าน สามารถ
มองไปยังตำแหน่งหมุดอ้างอิงที่กำหนดได้ดีกว่า
พื้นที่บริเวณขอบด้านข้างของจอด้านหน้าได้ว่า
ตำแหน่งส่วนเทียบสายตาของผู้ทดสอบในบริเวณ
ดังกล่าวค่อนข้างมีค่าคลาดเคลื่อนสูง และเมื่อ¹
พิจารณาค่าคลาดเคลื่อนของระยะห่างเฉลี่ย
ระหว่างจุดพิกัดส่วนเทียบกับพิกัดจริงของหมุดบน
จอด้านหน้า พบว่าหมุดอ้างอิงที่acco ล่างสุดมีค่าคลาด
เคลื่อนสูงกว่าตำแหน่งหมุดอ้างอิงอื่น ๆ โดยเฉพาะ
อย่างยิ่งหมุดอ้างอิงที่ 16 ซึ่งเป็นหมุดอ้างอิงสุดท้าย
มีค่าคลาดเคลื่อนของระยะห่างเฉลี่ยที่ 55 จุดภาพ
และหมุดอ้างอิงที่ 2, 3, 6, 7, 10, และ 11 ซึ่งเป็น
หมุดอ้างอิงที่อยู่บริเวณกลางหน้าจอมีค่าคลาด
เคลื่อนของระยะห่างเฉลี่ยที่ต่ำกว่า รายละเอียด
ดังรูปที่ 13



รูปที่ 13 กราฟเปรียบเทียบค่าเฉลี่ยระยะห่างของ การสอบเทียบสายตาในละจุดอ้างอิง

4. ສຸດ

งานวิจัยนี้เป็นการพัฒนาอุปกรณ์ตรวจนับภาพดวงตาต้นทุนต่ำ โดยพัฒนาจากวัสดุและอุปกรณ์ภายในประเทศ ซึ่งวัสดุอุปกรณ์หลัก คือ กล้องดิจิทัลเว็บแคมที่ถูกนำมาตัดแปลงให้มีความสามารถตรวจจับภาพด้วยคลื่นความถี่อินฟราเรด จากนั้นติดตั้งเข้ากับกรอบของเว่นตา โดยมีวัตถุประสงค์ในการพัฒนาเพื่อลดต้นทุนการนำเข้าอุปกรณ์ตรวจนับภาพดวงตาราคาแพงจากต่างประเทศ และนำไปใช้เป็นอุปกรณ์ในงานวิจัยติดตามตำแหน่งของสายตากับงานด้านระบบปฏิสัมพันธ์ระหว่างมนุษย์กับคอมพิวเตอร์ ผลจากการพัฒนาพบว่าอุปกรณ์ตรวจนับภาพดวงตาสามารถทำงานได้ดีและช่วยลดต้นทุนการนำเข้าอุปกรณ์ราคาแพงจากต่างประเทศได้ อย่างไรก็ตาม การศึกษาวิจัยเปรียบเทียบด้านประสิทธิภาพการทำงานของอุปกรณ์ก็เป็นสิ่งที่ต้องคำนึงถึงและควรดำเนินการศึกษาวิจัยต่อไป

ในส่วนของประสิทธิภาพการติดตามดำเนินการของข้อมูลนี้ ผู้วิจัยประดิษฐ์พงษ์ชันประมานค่าดำเนินการเพื่อประเมินค่าดำเนินการของข้อมูลนี้ ที่ได้รับจากกลุ่มการ 3 รูปแบบ คือ สมการเชิงเส้น สมการพหุนามดีกรีสอง และสมการพหุนามดีกรีสาม และใช้วิธีการกำลังสองน้อยสุดหาพงษ์ชันที่เหมาะสม ผลการทดสอบประสิทธิภาพ พบร่วมกับพงษ์ชันเพื่อประเมินแบบเชิงเส้นและแบบพหุนามดีกรีสามมีประสิทธิภาพในการประเมินพิกัดเพื่อประเมินที่ใกล้เคียงกัน แต่สำหรับพงษ์ชันเพื่อประเมินแบบสมการพหุนามดีกรีสองมีค่าคลาดเคลื่อนค่อนข้างสูง ซึ่งการวัดประสิทธิภาพของพงษ์ชันเพื่อประเมินพิจารณาจากค่า RMSE และค่าคาดเคลื่อนระยะห่างเฉลี่ยโดยหน่วยที่ใช้วัดเป็นขนาดเท่ากับ 1 ลูกภาพ ซึ่งมี

ขนาดที่เล็กมาก สำหรับในทางปฏิบัติแล้ววัตถุ เป้าหมายได ๆ บน แอพพลิเคชันต่าง ๆ จะมีขนาด ที่ใหญ่กว่า ดังนั้น ขนาดของวัตถุ เป้าหมายจึงมีผลต่อ ประสิทธิภาพของการติดตามตำแหน่งของสายตา เพื่อใช้ล็อกการคอมพิวเตอร์ด้วยเช่นกัน

เมื่อพิจารณาค่าระยะห่างเฉลี่ยระหว่างระบบ พิกัดทั้งสองของฟังก์ชันเพ่งมองแบบพหุนามดีกรี สาม และแบบสมการเชิงเส้น มีค่าเป็น 20 จุดภาพ และ 23 จุดภาพ ตามลำดับ และเมื่อนำมาพิจารณา กับขนาดของวัตถุ เป้าหมายขนาด 50×50 จุดภาพ ก็พบว่าพิกัดของสายตาที่ได้จากการประมาณค่า ยังอยู่ภายในขอบเขตบริเวณของวัตถุ เป้าหมาย นอกจากนี้ยังพบว่าตำแหน่งบริเวณกึ่งกลางของ จอภาพเป็นบริเวณที่ฟังก์ชันเพ่งมองประมาณค่า พิกัดได้อย่างมีประสิทธิภาพ ซึ่งนับได้ว่าตำแหน่ง บนจอภาพก็มีผลต่อประสิทธิภาพของการประมาณ ด้วย

อย่างไรก็ตาม ในขั้นตอนการลองเทียบ ตำแหน่งสายตาของผู้ทดสอบก่อนข้างใช้เวลา many เนื่องจากต้องให้เวลาอธิบายวิธีการ รวมทั้งให้ ผู้ทดสอบทดลองใช้งานอุปกรณ์ และข้อควรระวัง ในขณะลองเทียบตำแหน่งสายตา คือ ผู้ทดสอบต้องไม่เคลื่อนไหวเครื่องคอมพิวเตอร์ที่ต้อง ผลกระทบต่อประสิทธิภาพการประมาณตำแหน่ง ของสายตาอีกด้วย

5. กิตติกรรมประกาศ

ขอคุณบัณฑิตวิทยาลัย มหาวิทยาลัย เทคโนโลยีพระจอมเกล้าพระนครเหนือ ที่สนับสนุน งบประมาณในการพัฒนาอุปกรณ์ตรวจจับลักษณะ ภาพดวงตาด้านทุนด้ำ และค่าใช้จ่ายในการดำเนิน งานวิจัยในครั้งนี้

6. เอกสารอ้างอิง

- Dongheng, L., Babcock, J. and Parkhurst, D. 2006. openEyes: a low-cost head-mounted eye-tracking solution. In *IEEE Proceedings of the 2006 symposium on Eye tracking research & applications*. 95-100.
- Dodge, R. (1916). Visual motor functions. *Psychological Bulletin*. 13: 421-427.
- Bradski, G. and Kaehler, A. 2008. *Learning OpenCV Computer Vision with the OpenCV Library*. Cambridge: O'Reilly.
- Gao, J., et al. 2009. Application of hough transform in eye tracking and targeting. In *9th International IEEE Conference on Electronic Measurement & Instruments, (ICEMI'09)*. 751-754.
- Hansen, D.W. and Qiang, Ji. 2010. In the Eye of the Beholder: A Survey of Models for Eyes and Gaze. In *IEEE Transactions on Pattern Analysis & Machine Intelligence*. 32(3): 478-500.
- Hennessy, C., Noureddin, B. and Lawrence, P. 2008. Fixation precision in high-speed noncontact eye-gaze. In *IEEE Transactions on System, Man, and Cybernetics, Part B: Cybernetics*. 38(2): 289-298.
- Huey, E.B. 1900. On the psychology and physiology of reading. *American Journal of Psychology*. 11: 283-302.

- Janthanasub, V. and Meesad, P. 2015. Evaluation of a Low-cost Eye Tracking System for Computer Input. In **King Mongkut's University of Technology North Bangkok International Journal of Applied Science and Technology (KMUTNB: IJAST)**. 8(3).
- Javal, L.E. 1905. **Physiologie de la lecture et de l'écriture.** Paris: Alcan.
- Ogama. [online]. [cited 2014 January 14]. Available from URL: <http://www.ogama.codeplex.com/openFramworks>.
- from URL: <http://www.openframworks/>
- Tao, J., Nong-liang, S. and Mao-Yong, C. 2008. Moving object detection based on blob analysis. In **IEEE Interconference on Automation and Logistics (ICAL2008)**. 322-325.
- ITU GazeTracker. [online]. [cited 2014 June 12]. Available from URL: <http://www.itu.dk/>
- The Eyewriter project. [online]. [cited 2014 March 15]. Available from URL: <http://www.eyewriter.org/>